



Ensaio Dinâmico e Identificação de Parâmetros de um Miniveículo Elétrico Multitração

Palavras-chave: Modelos Dinâmicos, Dinâmica de Veículos, Métodos Experimentais, Determinação de Parâmetros

Autores:

Felipe Wyatt Varga, FEM - UNICAMP

Prof. Dr. Ely C. de Paiva (orientador), FEM - UNICAMP

Dr. Mauro F. Koyama (coorientador), Pesquisador Colaborador da UNICAMP

INTRODUÇÃO

O uso de veículos robóticos em escala é uma forma de demonstrar e facilitar as investigações em controle e sistemas de sensoriamento para veículos autônomos. A maioria dos desenvolvimentos em técnicas de navegação autônoma requer um conhecimento preciso do modelo do veículo (Cordeiro, 2013). Obter parâmetros físicos precisos é crucial para os modelos de veículos, a fim de garantir sistemas veiculares confiáveis, de alto desempenho e seguros. Inúmeros estudos têm sido realizados em busca de técnicas para estimar com precisão os parâmetros do veículo, visando melhorar sua confiabilidade e desempenho (Cordeiro et al., 2014), (Ribeiro et al., 2021).

O projeto VERDE (Veículo Elétrico Robótico com Diferencial Eletrônico) (Nogueira et al., 2019), no qual este trabalho foi aplicado, é um veículo em escala 1:5, com quatro rodas, que possui distribuição eletrônica de torque para uma distribuição otimizada de torque/velocidade, visando aplicações de direção autônoma em ambientes agressivos, como em aplicações agrícolas, sob terrenos escorregadios e altamente irregulares (Lemos et al., 2017), (Ribeiro et al., 2022). O VERDE, é uma plataforma completamente instrumentada, com sistema de navegação inercial INS/GPS, computador embarcado, LIDAR de longo alcance (30 metros), câmera e sensores para medir a velocidade das rodas e o ângulo de esterçamento da direção que utiliza o ambiente ROS (Robotic Operating System) para controle do sistema e integração dos sensores e atuadores.

Este trabalho apresenta métodos experimentais para identificar parâmetros fundamentais do veículo, como massa do veículo, posição do centro de gravidade (CG) e momentos principais de inércia nas direções x , y e z . As medidas desses parâmetros e suas respectivas incertezas foram obtidas a fim de avaliar a qualidade dos resultados e métodos utilizados.

METODOLOGIA

a) Massa

O principal parâmetro para a modelagem da dinâmica do veículo é a sua massa total. A massa do veículo pode ser obtida diretamente da análise de equilíbrio estático do carrinho em um plano horizontal, de forma que a partir do diagrama de corpo livre (DCL) mostrado na Figura 1, a massa total é obtida pelo somatório de forças nos apoios dividido pela gravidade g . Na figura os índices FL, FR, RL e RR correspondem, respectivamente, aos conjuntos de roda-pneu dianteiro-esquerdo, dianteiro-direito, traseiro-esquerdo e traseiro-direito.

b) Centro de gravidade

A posição do Centro de Gravidade (CG) também é necessária para a modelagem da dinâmica do veículo. A Figura 2 mostra os parâmetros que fornecem a posição do CG do veículo.

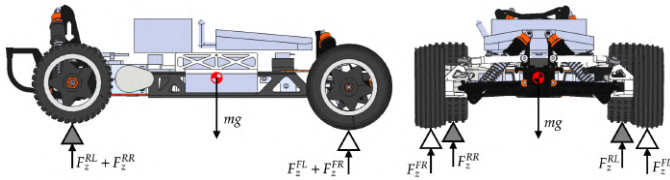


Figura 1: Diagrama de corpo livre do veículo.

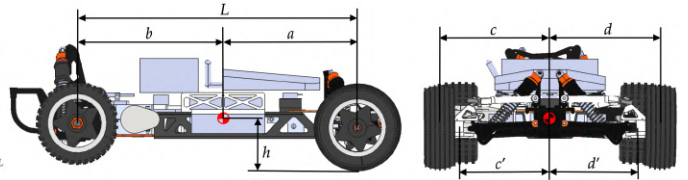


Figura 2: Localização do Centro de Gravidade.

As dimensões a , b , c , d , c' e d' são definidas a partir de pontos fixos do corpo do veículo, e h é definido em relação à face inferior do chassi do veículo. Para determinar esses parâmetros, é necessário medir as forças normais em cada um dos apoios do veículo em duas situações: com o veículo em um plano horizontal, para garantir uma distribuição uniforme da carga, e com o veículo em um plano inclinado (Jazar, 2008). No caso do plano horizontal, a análise de equilíbrio estático na rotação em torno do eixo x resulta em:

$$(F_z^{FL} + F_z^{FR})a = (F_z^{RL} + F_z^{RR})b \quad (1)$$

E uma segunda equação pode ser derivada ao considerar que o parâmetro $(a + b)$ representa a distância entre os eixos das rodas dianteira e traseira do veículo, que é um valor conhecido. Da mesma forma, as dimensões c e d podem ser determinadas pelas medições das forças normais e pela análise de equilíbrio estático na rotação em torno do eixo y . Uma vez que a largura da bitola traseira é menor que a largura bitola dianteira, os torques gerados pelos apoios das rodas traseiras são funções de c' e d' . Portanto, a análise estática fornece:

$$F_z^{FR}c + F_z^{RR}c' = F_z^{RL}d' + F_z^{FL}d \quad (2)$$

As equações restantes para resolver para c podem ser derivadas pela soma $(c + d)$ e $(c' + d')$, que são iguais às larguras das bitolas dianteira e traseira, respectivamente, e a relação linear entre as distâncias dada por $c - c' = d - d'$.

Para obter a altura h do CG, deve-se medir as forças de apoio do veículo em um plano inclinado, com um ângulo conhecido θ em relação ao plano do solo. Ao equilibrar a soma de torques na direção do eixo y no ponto O (centro da roda dianteira), ver Figura 3, a altura h pode ser obtida a partir da Eq. (3).

$$h = \frac{mg(a \cos \theta + r \sin \theta) - (F_z^{RL} + F_z^{RR})L \cos \theta}{mg \sin \theta} \quad (3)$$

De acordo com (Uys et al., 2006), a precisão do valor de h aumenta conforme a inclinação aumenta e, assim, são obtidos resultados que sugerem que o ângulo θ deve ser superior a 10° .

c) Momentos Principais de Inércia

Os momentos de inércia desempenham um papel crucial na dinâmica do veículo, pois estão influenciando diretamente movimentos angulares. Os principais momentos de inércia capturam a distribuição de massa em torno dos eixos principais, com a origem localizada no centro de gravidade.

Um método amplamente utilizado para medir momentos de inércia envolve analisar a oscilação do carrinho em movimento pendular (Dunmore, 1961), (Schedlinski e Link, 2001). Essa abordagem, pode-se ser simplificada ao assumir uma distribuição de massa simétrica do veículo em relação aos eixos x , y e z , reduzindo o número de experimentos para apenas três testes necessários (Cordeiro et al., 2014).

O primeiro método aplicado é o pêndulo simples, comumente utilizado para determinar os momentos de inércia em torno dos eixos x e y . Esse método permite a experimentação com o veículo em posição horizontal, garantindo maior segurança durante o procedimento. A medição do período de oscilação usando um pêndulo simples baseia-se na aplicação direta da equação de movimento de Newton-Euler descrito em (Cordeiro et al., 2014). Conforme mostrado na Figura 4a, o corpo é suspenso por cordas, e é induzida uma rotação livre em torno do eixo (neste caso, x ou y).

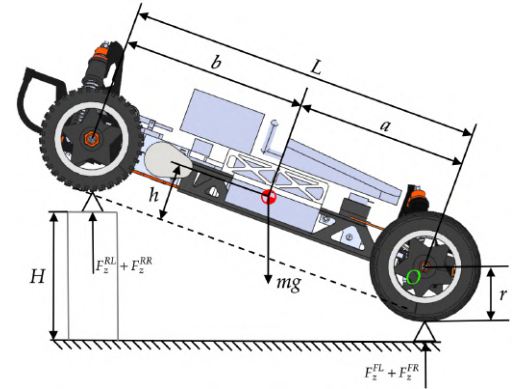


Figura 3: DCL carrinho inclinado.

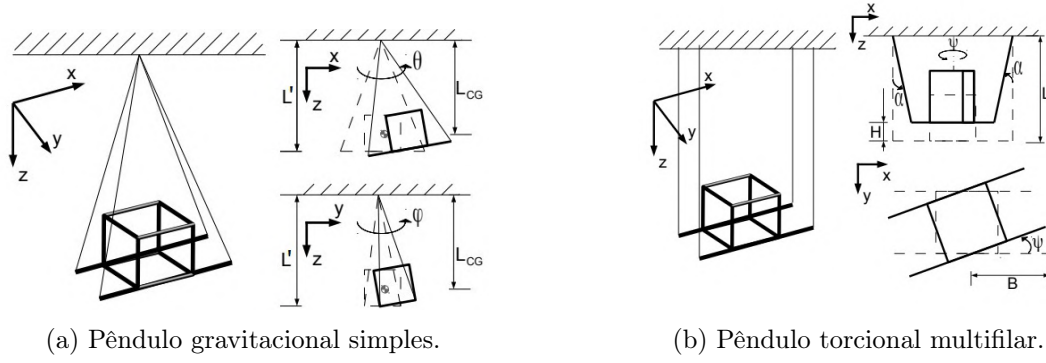


Figura 4: Diagramas dos experimentos de pêndulos, retirados de (Cordeiro et al., 2014).

Onde, L' representa o comprimento do pêndulo equivalente, e L_{CG} denota a distância entre o eixo de rotação do pêndulo e o CG do veículo, especificamente dada por $L_{CG} = L' - h$. Sejam f_ϕ e f_θ as frequências de oscilação relativas aos eixos x e y , respectivamente. É importante ressaltar que essa análise assume um pêndulo ideal, sem atrito ou resistência do ar. No entanto, como o eixo de rotação do pêndulo está localizado no ponto de fixação das cordas, é necessário aplicar o Teorema dos Eixos Paralelos, para obter o momento de inércia em relação ao CG. Portanto, os momentos de inércia em relação aos eixos x e y são determinados pelas seguintes equações:

$$I_x = \frac{mgL_{CG}}{(2\pi f_\phi)^2} - mL_{CG}^2 \quad I_y = \frac{mgL_{CG}}{(2\pi f_\theta)^2} - mL_{CG}^2 \quad (4)$$

Para a determinação de I_z , o uso de pêndulos de torção é uma alternativa mais simples e segura em comparação com o método do pêndulo simples (Dunmore, 1961), (Schedlinski e Link, 2001). Na implementação do pêndulo de torção, dois ou mais fios são utilizados para sustentar o veículo, e uma força inicial de torção é aplicada no pêndulo. A Figura 4b ilustra uma representação do pêndulo de torção. Considerando a configuração representada na Figura 4b, em que os cabos estão dispostos ortogonalmente ao chassi do veículo, uma análise da energia potencial e da geometria permite a determinação da inércia ao longo do eixo z . Ao empregar essa abordagem, a equação para I_z pode ser expressa por Eq. (5).

$$I_z = \frac{mgB^2}{L'(2\pi f_\psi)^2} \quad (5)$$

Onde B é o raio de giração do pêndulo de torção e f_ψ é a frequência de oscilação em torno do eixo z .

RESULTADOS E DISCUSSÃO

Os experimentos descritos foram conduzidos no Laboratório de Estudos em Veículos Robóticos de Exterior (LEVE) da Universidade Estadual de Campinas (Unicamp). A aquisição dos dados pôde ser feita com o comando `rosviz record` executado no sistema operacional que opera no VERDE, o ROS, que realiza o processamento dos sinais dos sensores e o controle dos atuadores por meio de uma estrutura de dados chamada de nós, e a integração entre os nós por mensagens, chamadas de tópicos. Para obter-se os dados dos sensores em tempo real, pode-se utilizar esse comando `rosviz record` para interceptar os tópicos enviados pelos sensores, sem interromper o fluxo de dados entre as diferentes partes do sistema (ROS, 2023).

a) Massa e centro de gravidade

Para medir a massa do veículo, foram utilizadas quatro balanças padrão com faixa de 0 a 10 kg e precisão de ± 1 g previamente calibradas, colocadas sob os pneus do veículo e posicionadas em uma superfície plana como descrito na Metodologia e mostrada na Figura 5. Cinco medições diretas foram realizadas para obter a distribuição de peso entre as balanças, e a incerteza associada a cada valor médio de massa foi calculada com 95% de confiança (Figliola e Beasley, 2021). Nos experimentos realizados, considerou-se que os erros seguem uma distribuição normal.

Usando os valores de massa medidos em cada balança e aplicando-os na Eq. (1), foi possível determinar a massa total do veículo, a posição x e y do CG e suas incertezas, através da propagação de incertezas pelas derivadas parciais das equações (Taylor, 1997).

Para determinar a altura h do CG, foram feitas onze medições com a traseira do veículo elevada em um ângulo de $\theta = 17^\circ$. Os resultados medidos foram usados na Eq. (3), e então o valor médio da altura h foi calculado. Os resultados obtidos para a massa total e a posição do CG do veículo, bem como suas incertezas propagadas, calculadas com o método de derivadas parciais, são apresentados na Tabela 1.



(a) Experimento em superfície horizontal.



(b) Experimento do plano inclinado.

Figura 5: Experimentos para obtenção da massa e posição do CG.

Descrição da Dimensão	Variável	Valores
Massa do veículo	m	$18,9032 \pm 0,0416 \text{ kg}$
Distância do CG ao centro das rodas dianteiras ao longo do eixo x	a	$328,9 \pm 1,2 \text{ mm}$
Distância do meio das rodas direitas ao CG ao longo do eixo y	c	$228,9 \pm 0,8 \text{ mm}$
Altura do CG	h	$149,3 \pm 7,3 \text{ mm}$

Tabela 1: Resultados experimentais para a massa total e posição do centro de gravidade do veículo, com 95% de confiança.

Os valores obtidos para a massa do veículo, a , e c , mostraram valores de incerteza inferiores a 1%. O valor da altura do centro de gravidade apresentou uma incerteza razoável de 5%, embora maior do que as outras distâncias de CG, devido à sua Eq. (3), que envolve mais parâmetros. Portanto, o resultado de h tem mais erros associados do que as outras distâncias do CG.

b) Momentos de inércia

Conforme observado nas Eq. (4) e Eq. (5), os momentos de inércia em relação aos eixos x, y e z são dependentes de seus respectivos períodos de oscilação. Portanto, foram realizados quatro testes de pêndulo para cada momento de inércia, com as configurações descritas na Metodologia, e uma IMU XSENS foi utilizada para gerar os sinais de oscilação que foram salvos em arquivos, dos quais os períodos médios de oscilação foram obtidos para cada experimento. A IMU foi posicionada perto do CG do veículo para medir com precisão o deslocamento angular. A Figura 6 mostra os sinais de ângulos de rolagem, arfagem e guinada obtidos a partir dos experimentos de pêndulo realizados como descritos na Metodologia.

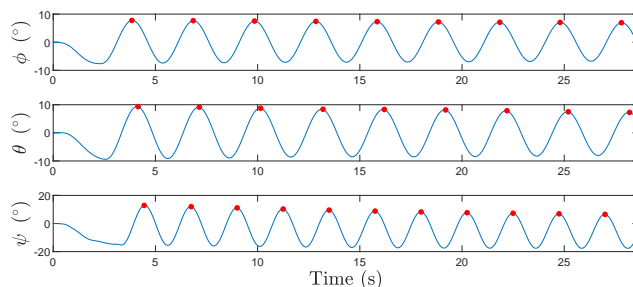


Figura 6: Deslocamento angular de cada experimento de pêndulo.

Observa-se que a amplitude das oscilações do pêndulo diminui ao longo do tempo. No entanto, o período de oscilação permanece constante. Dado que a diferença de tempo entre picos sucessivos fornece o período de oscilação, os picos das oscilações foram isolados e marcados com pontos vermelhos na Figura 6. As frequências foram obtidas pela média dos dez primeiros períodos, então utilizadas nas Eq. (4) e Eq. (5). Para calcular as incertezas associadas aos períodos de tempo, onde foram realizados múltiplos experimentos, foi utilizado o Algoritmo da Máxima Probabilidade (Figliola e Beasley, 2021). Os valores resultantes e suas incertezas associadas são apresentados na Tabela 2.

Descrição do Parâmetro	Variável	Valores
Momento de Inércia Principal ao longo do eixo x	I_x	$0,9659 \pm 0,5430 \text{ kg} \cdot \text{m}^2$
Momento de Inércia Principal ao longo do eixo y	I_y	$1,5913 \pm 0,5409 \text{ kg} \cdot \text{m}^2$
Momento de Inércia Principal ao longo do eixo z	I_z	$1,1713 \pm 0,0045 \text{ kg} \cdot \text{m}^2$

Tabela 2: Resultados para os experimentos de pêndulo I_x , I_y e I_z , com 95% de confiança.

As medições de I_z mostraram uma incerteza inferior a 0,5%, enquanto as incertezas dos momentos de inércia I_x e I_y foram muito maiores. Isso pode ser explicado pelo fato de que a equação de I_z , Eq. (5), possui menos parâmetros, ou seja, menos fontes de erro do que as equações Eq. (4) para I_x e I_y , que contêm o quadrado da altura do CG em suas equações, o que, por si só, tem uma incerteza associada maior do que as outras distâncias do CG.

CONCLUSÃO E AGRADECIMENTOS

Os resultados obtidos com as configurações experimentais propostas, utilizando balanças de pesagem padrão e estruturas de pêndulos, são consistentes com o conhecimento prévio do sistema, além de corroborarem e estenderem estudos anteriores para veículos maiores (Cordeiro et al., 2014), mostrando que a estratégia proposta é escalável para diferentes veículos.

Posteriormente, os resultados encontrados serão utilizados em trabalhos futuros envolvendo o VERDE para implementação de um filtro de Kalman visando a determinação de outros parâmetros dinâmicos do carrinho, como a rigidez lateral dos pneus.

Agradeço ao doutorando João Victor A. P. Bezerra e ao professor Dr. Niederauer Mastelari por auxiliarem nos experimentos e discussões do projeto. Também a Rafael A. Cordeiro pelo auxílio na metodologia.

REFERÊNCIAS BIBLIOGRÁFICAS

- CORDEIRO, R.A. **Modelagem e Controle de Trajetória de um Veículo Robótico Terrestre de Exterior**. Dissertação de Mestrado. 2013.
- CORDEIRO, R.A., BUENO, S.S., AZINHEIRA, J.R., DE PAIVA, E.C., PABLO, S., VIVAN, R., AZEVEDO, H. e KOYAMA, M.F. **Determinação experimental de parâmetros para a modelagem dinâmica de um veículo robótico terrestre**. 2014.
- DUNMORE, J.. Handbook on torcional vibrations. British Internal Combustion Engine Research Association. **The Aeronautical Journal**, Cambridge University Press, London. v. 65, no. 601, p. 71–71. 1958.
- FIGLIOLA, R.S. e BEASLEY, D.E.. **Theory and design for mechanical measurements**. John Wiley & Sons. 2021.
- JAZAR, R.N.. **Vehicle dynamics**. Springer, v. 1, 2008.
- LEMOES, R.A., SOBRAL, G., MIRISOLA, L., MARTINS, R., KOYAMA, M. e DE PAIVA, E.. **Estratégia de navegação autônoma entre fileiras de cultivares baseada em lasers**. XIII Simpósio Brasileiro de Automação Inteligente. v. 1. 2017.
- NOGUEIRA, L.A.D.O., KOYAMA, M.F., CORDEIRO, R.D.A., RIBEIRO, A.M., BUENO, S.S. e DE PAIVA, E.C.. **A miniaturized four-wheel robotic vehicle for autonomous driving research in off-road scenarios**. Congresso Brasileiro de Automática-CBA, v. 1. 2019.
- RIBEIRO, A.M., FIORAVANTI, A.R., MOUTINHO, A. e DE PAIVA, E.C.. Nonlinear state-feedback design for vehicle lateral control using sum-of-squares programming. **Vehicle System Dynamics**, v. 60, no. 3, p. 743-769. 2022.
- RIBEIRO, A., KOYAMA, M., MOUTINHO, A., DE PAIVA, E. e FIORAVANTI, A.. A comprehensive experimental validation of a scaled car-like vehicle: Lateral dynamics identification, stability analysis, and control application. **Control Engineering Practice**, v. 116/104924. ISSN 0967-0661. 2021.
- ROS, **Concepts — ROS 2 Documentation**. Disponível em: <http://docs.ros.org/en/iron/Concepts.html>. Acesso em: jun. 2023.
- SCHEDLINSKI, C. e LINK, M.. A survey of current inertia parameter identification methods. **Mechanical Systems and Signal Processing**, v. 15, no. 1, p. 189–211. 2001.
- TAYLOR, J.. **Introduction to error analysis, the study of uncertainties in physical measurements**. 1997.
- UYS, P., ELS, P., THORESSON, M., VOIGT, K. e COMBRINCK, W.. Experimental determination of moments of inertia for an off-road vehicle in a regular engineering laboratory. **International Journal of Mechanical Engineering Education**, v. 34, no. 4, p. 291–314. 2006.